

СТІЙКІСТЬ УСТАЛЕНИХ РУХІВ АВТОБАЛАНСИРА-ДЕМПФЕРА НА ВЕЛИКИХ ШВИДКОСТЯХ ОБЕРТАННЯ РОТОРА

В [1, 2] описана конструкція нового автобалансира-демпфера (АБД), призначеного для зрівноваження вертикально розташованих роторів і одночасного демпфірування їх вібрацій. В автобалансирі корегуючий вантаж (КВ) має нерухому точку на повздовжній осі ротора і сферичний тензор інерції відносно неї, причому центр ваги КВ не співпадає з нерухомою точкою. В [3] побудована математична модель ротора на ізотропних опорах, що рухається плоскопаралельно, розташований вертикально і зрівноважується АБД. В [4] досліджені усталені рухи системи і сформульовані вимоги до роботоспроможності пристрою. Відповідно до них, для роботоспроможності АБД на певному інтервалі кутових швидкостей обертання ротора необхідно, щоб основні рухи (основний рух) системи були стійкими, а побічні - нестійкими. В цієї роботі досліджується стійкість основних і побічних усталених рухів у випадку ротора, що швидко обертається ($R_\omega \gg 1$).

Розв'язання рівнянь усталених рухів системи ротор-АБД (одержаних в [4]) у параметричному вигляді має вигляд

$$\tilde{\xi} = -R_m R_\omega^2 e_0 \frac{\Delta_\xi(u)}{\Delta(u)}, \quad \tilde{\eta} = R_m R_\omega^2 e_0 \frac{\Delta_\eta(u)}{\Delta(u)}, \quad \cos \tilde{\varphi} = u, \quad \operatorname{tg} \tilde{\psi} = \frac{\Delta_\xi(u)}{\Delta_\eta(u)}, \quad (1)$$

$$\Delta(u) = (R_\omega^2 - 1 + \frac{R_m R_\omega^4}{R_g^2} u)^2 + H^2 R_\omega^2, \quad \Delta_\xi(u) = (R_\omega^2 - 1 + \frac{R_m R_\omega^4}{R_g^2} u) \cos \gamma - H R_\omega \sin \gamma,$$

$$\Delta_{\eta}(u) = HR_{\omega} \cos \gamma + (R_{\omega}^2 - 1 + \frac{R_m R_{\omega}^4}{R_g^2} u) \sin \gamma,$$

$$(1 - u^2) [(R_{\omega}^2 - 1 + \frac{R_m R_{\omega}^4}{R_g^2} u)^2 + H^2 R_{\omega}^2] = \frac{R_m^2 R_{\omega}^8}{R_g^4} e_0^2 u^2. \quad (2)$$

де $\tilde{\varphi}, \tilde{\psi}, \tilde{\xi}, \tilde{\eta}$ - усталені значення змінних, що визначають положення системи, $R_m, R_{\omega}, R_g, H, e_0, \gamma$ - шість безрозмірних параметрів, серед яких R_{ω} відповідає кутовій швидкості обертання ротора, а e_0 - величині дисбалансу.

Усталені рухи розрізнятимемо по граничним положенням КВ відносно ротора, при необмеженому зростанні кутової швидкості обертання ротора ($R_{\omega} \gg 1$). На рис., а-г зображені граничні положення КВ в істотно відмінних усталених рухах системи у випадку дисбалансу, який може зрівноважити КВ ($e_0 < 1$), а на рис., д, е - якого пристрій зрівноважити не може ($e_0 \geq 1$). В першому випадку існують не більше чотирьох істотно відмінних усталених рухи – два основних (рис., а, б), в яких ротор зрівноважений і два побічних (рис., в, г), в яких ротор розбалансований. В другому випадку існують два істотно відмінних рухи – один основний (рис., д), в якому КВ зменшує дисбаланс, і один побічний (рис., е), в якому КВ збільшує дисбаланс.

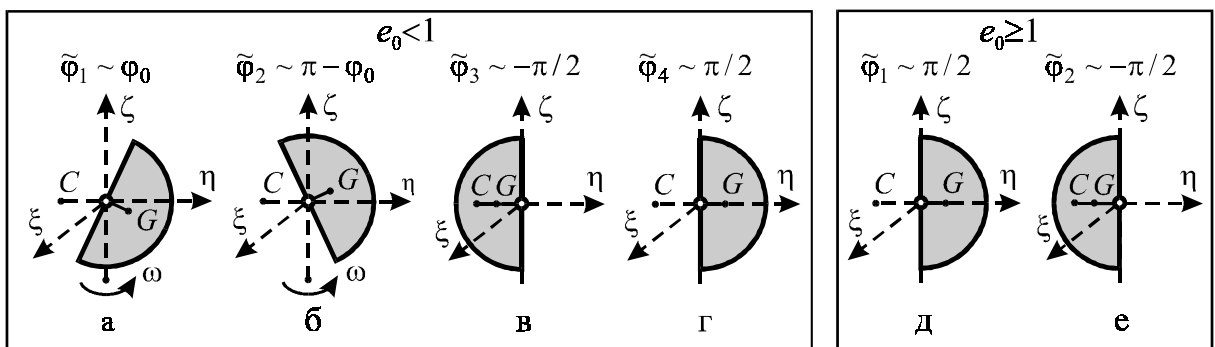


Рисунок. Граничні положення КВ відносно ротора – випадок

$e_0 < 1$ (а-г), випадок $e_0 \geq 1$ (д, е)

У випадку $e_0 < 1$ і за наявності сил зовнішнього опору знаходимо наступні розкладання кутів $\tilde{\varphi}_i$ чи їх косинусів за степенями малого параметру:

$$0 < R_\omega \ll 1: \quad \exists \quad \tilde{\varphi}_2 = \pi + \tilde{\varphi}_3, \quad \tilde{\varphi}_3 = -\frac{R_m R_\omega^4 e_0}{R_g^2} \left[1 + \left(1 - \frac{H^2}{2} \right) R_\omega^2 \right] + \dots;$$

$$R_\omega \sim 1: \quad \exists \quad \tilde{\varphi}_1 \approx \arccos \sqrt{u_1}, \quad \tilde{\varphi}_2 \approx \pi - \arccos \sqrt{u_1},$$

$$u_1 = \frac{\cos^2 \varphi_0 - b^2}{2} + \sqrt{\frac{(\cos^2 \varphi_0 - b^2)^2}{4} + b^2}, \quad b^2 = \frac{H^2 R_g^4}{R_m^2};$$

$$R_\omega \gg 1 \quad (v = 1/R_\omega \ll 1):$$

$$\exists \tilde{\varphi}_1: \cos \tilde{\varphi}_1 = \cos \varphi_0 + \frac{R_g^2 v^2}{R_m \cos^2 \varphi_0} + \dots, \quad \tilde{\varphi}_2: \cos \tilde{\varphi}_2 = -\cos \varphi_0 + \frac{R_g^2 v^2}{R_m \cos^2 \varphi_0} + \dots,$$

$$\tilde{\varphi}_3: \cos \tilde{\varphi}_3 = -\frac{R_g^2 v^2}{R_m (1 + \sin \varphi_0)} + \dots, \quad \tilde{\varphi}_4: \cos \tilde{\varphi}_4 = -\frac{R_g^2 v^2}{R_m (1 - \sin \varphi_0)} + \dots;$$

$$\varphi_0 = \arcsin e_0 \quad (\sin \varphi_0 = e_0, \quad \cos \varphi_0 = \sqrt{1 - e_0^2}). \quad (3)$$

У випадку $e_0 \geq 1$ і за наявності сил зовнішнього опору знаходимо наступні розкладання кутів $\tilde{\varphi}_i$ чи їх косинусів за степенями малого параметру:

$$0 < R_\omega \ll 1: \quad \tilde{\varphi}_1 = \pi + \tilde{\varphi}_2, \quad \tilde{\varphi}_2 = -\frac{R_m R_\omega^4 e_0}{R_g^2} \left[1 + \left(1 - \frac{H^2}{2} \right) R_\omega^2 \right] + \dots;$$

$$R_\omega \sim 1: \quad \exists \quad \tilde{\varphi}_1 \approx \arccos \sqrt{u_1}, \quad \tilde{\varphi}_2 \approx \pi - \arccos \sqrt{u_1},$$

$$u_1 = \frac{1 - e_0^2 - b^2}{2} + \sqrt{\frac{(1 - e_0^2 - b^2)^2}{4} + b^2}, \quad b^2 = \frac{H^2 R_g^4}{R_m^2};$$

$$R_\omega \gg 1 \quad (v = 1/R_\omega \ll 1):$$

$$\exists \tilde{\varphi}_1: \cos \tilde{\varphi}_1 = \frac{R_g^2 v^2}{R_m (e_0 - 1)} + \dots, \quad \tilde{\varphi}_2: \cos \tilde{\varphi}_2 = -\frac{R_g^2 v^2}{R_m (e_0 + 1)} + \dots. \quad (4)$$

Досліджуємо стійкість усталених рухів відносно змінних

$$x, y, \varphi, \psi, p = \dot{\theta}, \quad \tilde{p} = 0. \quad (5)$$

Вводимо збурений рух у вигляді

$$\varphi = \tilde{\varphi} + \alpha, \quad \psi = \tilde{\psi} + \beta, \quad \xi = -\frac{R_g^2}{R_\omega^2} \operatorname{tg} \tilde{\varphi} \sin \tilde{\psi} + u, \quad \eta = \frac{R_g^2}{R_\omega^2} \operatorname{tg} \tilde{\varphi} \cos \tilde{\psi} + v, \quad p = p. \quad (6)$$

Йому відповідає таке характеристичне рівняння

$$\Delta(\lambda) = a_{11} \bar{a}_{11} [(a_{33} \bar{a}_{33} - a_{34}^2) a_{55} + \lambda (a_{33} + \bar{a}_{33} - 2a_{34}) a_{35}^2] - \\ - 2R_m [(a_{11} \bar{a}_{13}^2 + \bar{a}_{11} a_{13}^2) a_{35}^2 \lambda + (a_{11} \bar{a}_{13}^2 a_{33} + \bar{a}_{11} a_{13}^2 \bar{a}_{33}) a_{55}] + 4R_m^2 a_{13}^2 \bar{a}_{13}^2 a_{55} = 0, \quad (7)$$

де:

$$a_{11} = (\lambda + iR_\omega)^2 + H(\lambda + iR_\omega) + 1, \quad a_{13} = (\lambda + iR_\omega)^2, \\ a_{33} = \left(1 + \frac{1}{\cos^2 \tilde{\varphi}}\right) \left(\lambda^2 + h\lambda + \frac{R_g^2}{\cos \tilde{\varphi}}\right) + 2iR_\omega \lambda, \\ a_{34} = \left(\lambda^2 + h\lambda + \frac{R_g^2}{\cos \tilde{\varphi}}\right) \operatorname{tg}^2 \tilde{\varphi}, \quad a_{35} = R_\omega \operatorname{tg} \tilde{\varphi}, \quad a_{55} = \lambda + h, \quad (8)$$

причому в (8) знак комплексного спряження над a_{ij} до λ не відноситься.

Стійкість чи нестійкість усталених рухів визначається дійсними частинами коренів характеристичного рівняння (7). Оскільки корені в загальному випадку визначити неможливо, визначатимемо їх у вигляді асимптотичних рядів за степенями малого параметру. У випадку ротора, що швидко обертається

$$R_\omega \gg 1, \quad v = 1/R_\omega, \quad v \ll 1. \quad (9)$$

Характеристичне рівняння перетворюємо до вигляду

$$\Delta(\mu) = b_{11} \bar{b}_{11} \left[(b_{33} \bar{b}_{33} - b_{34}^2) b_{55} + \mu (b_{33} + \bar{b}_{33} - 2b_{34}) \frac{1-u^2}{u^2} \right] - \\ - 2R_m \left[(b_{11} \bar{b}_{13}^2 + \bar{b}_{11} b_{13}^2) \frac{1-u^2}{u^2} \mu + (b_{11} \bar{b}_{13}^2 \bar{b}_{33} + \bar{b}_{11} b_{13}^2 b_{33}) b_{55} \right] + 4R_m^2 b_{13}^2 \bar{b}_{13}^2 b_{55} = 0. \quad (10)$$

де:

$$b_{11} = (\mu + i)^2 + Hv(\mu + i) + v^2, \quad b_{13} = (\mu + i)^2, \quad b_{33} = \left(1 + \frac{1}{u^2}\right) \left(\mu^2 + hv\mu + \frac{v^2}{u}\right) + 2i\mu, \\ b_{34} = \left(\mu^2 + hv\mu + \frac{v^2}{u}\right) \frac{1-u^2}{u^2}, \quad b_{55} = \mu + vh, \quad \mu = \frac{\lambda}{v}, \quad u = \cos \tilde{\varphi}_i, \quad i \in \{1, 2, 3, 4\}. \quad (11)$$

причому в (11) знак комплексного спряження над b_{ij} до μ не відноситься.

Досліджуємо стійкість основних усталених рухів $\tilde{\varphi}_{1,2}$ ($e_0 < 1$).

Розкладання коренів характеристичного рівняння (10) по степеням ν отримуємо з використанням розкладань (3). Одержуємо

$$\begin{aligned} \mu^{(1/2)} &\approx -\frac{H}{2} \nu \pm i \left[\nu \sqrt{1 - \left(\frac{H}{2}\right)^2} + 1 \right], \quad \mu^{(3/4)} \approx -\frac{H}{2} \nu \pm i \left[\nu \sqrt{1 - \left(\frac{H}{2}\right)^2} - 1 \right], \\ \mu^{(5/6)} &\approx -\frac{\nu}{2(1-R_m)} \left[\frac{h[\sin^2 \tilde{\varphi} + 2R_m^2(1-R_m)\cos^4 \tilde{\varphi}]}{(1-R_m \cos^2 \tilde{\varphi})(\sin^2 \tilde{\varphi} + R_m \cos^2 \tilde{\varphi})} + \frac{HR_m[1+(1-2R_m)\cos^2 \tilde{\varphi}]}{1-R_m \cos^2 \tilde{\varphi}} \right] \pm \\ &\pm i \sqrt{\frac{R_m(\sin^2 \tilde{\varphi} + R_m \cos^2 \tilde{\varphi})}{(1-R_m)(1-R_m \cos^2 \tilde{\varphi})}}, \quad \mu^{(7/8)} \approx -h\nu \pm i, \quad \mu^{(9)} \approx -\frac{\nu h R_m \cos^2 \tilde{\varphi}}{\sin^2 \tilde{\varphi} + R_m \cos^2 \tilde{\varphi}}. \end{aligned} \quad (12)$$

Отже, основні рухи стійкі при будь-яких обмежених дисбалансах.

Числові дослідження показують, що другий основний рух $\tilde{\varphi}_2$, при зростанні кутової швидкості обертання ротора, декілька разів із нестійкого стає асимптотично стійким. З умови, що це викликано зміною знаку дійсного кореня ($\Delta(0)$), знаходимо дві критичні швидкості для цього руху

$$\nu_1 \approx \sqrt{-\rho \cos \tilde{\varphi}_2}, \quad \nu_2 \approx \sqrt{-\rho \cos^3 \tilde{\varphi}_2}, \quad \rho = R_m / R_g, \quad \rho \ll 1. \quad (13)$$

Числові дослідження коренів характеристичного рівняння показують наступне:

$$\begin{aligned} \forall R_\omega > 1/\nu_2 \quad \text{Re } \mu^{(i)} < 0, \quad /i = \overline{1,9}/; \\ \forall R_\omega \in (1/\nu_1, 1/\nu_2) \quad \exists i \in \{1,2,\dots,9\} : \mu^{(i)} \in \mathbb{R}^1, \mu^{(i)} > 0; \\ \exists e_0 < 1, \quad \nu(e_0) : \nu_1 < \nu(e_0) < 1, \\ \forall R_\omega \in (1/\nu(e_0), 1/\nu_1) \quad \text{Re } \mu^{(i)} < 0, \quad /i = \overline{1,9}/; \\ \forall R_\omega \in (0, 1/\nu(e_0)) \quad \exists i \in \{1,2,\dots,9\} : \text{Re } \mu^{(i)} > 0. \end{aligned} \quad (14)$$

Таким чином, при певних дисбалансах, другий основний рух може бути стійким на швидкостях, менших $1/\nu_1$, але стійкість в цьому випадку втрачається при переході швидкості $1/\nu(e_0)$ за рахунок появи пари комплексно спряжених коренів з додатними дійсними частинами.

У випадках побічного руху $\tilde{\varphi}_4$ ($e_0 < 1$), чи основного руху $\tilde{\varphi}_1$ ($e_0 > 1$) отримаємо наступні розкладання коренів характеристичного рівняння

$$\begin{aligned}\mu^{(1/2)} &\approx -\frac{H}{2}v \pm i \left[v \sqrt{1 - \left(\frac{H}{2}\right)^2} + 1 \right], & \mu^{(3/4)} &\approx -\frac{H}{2}v \pm i \left[v \sqrt{1 - \left(\frac{H}{2}\right)^2} - 1 \right], \\ \mu^{(5/6)} &\approx -\frac{1}{2}hv \frac{R_m(e_0 - 1) + 2R_g}{R_m(e_0 - 1) + R_g} \pm i \sqrt{\frac{R_m(e_0 - 1) + R_g}{R_g}}, \\ \mu^{(7/8)} &\approx -\frac{1}{2}v \frac{h + HR_m}{1 - R_m} \pm i \sqrt{\frac{R_m(e_0 - 1 + R_g)}{R_g(1 - R_m)}}, & \mu^{(9)} &\approx -\frac{(e_0 - 1)hR_mv}{R_g + R_m(e_0 - 1)}.\end{aligned}\quad (15)$$

Отже, можна зробити висновок, що побічний рух $\tilde{\varphi}_4$ ($e_0 < 1$) нестійкий, а основний $\tilde{\varphi}_1$ ($e_0 > 1$) – асимптотично стійкий:

$$\begin{aligned}\forall e_0 : e_0 < 1 \ (\tilde{\varphi} = \tilde{\varphi}_4) \ \exists i \in \{8, 9\} : \operatorname{Re} \mu^{(i)} > 0; \\ \forall e_0 : e_0 > 1 \ (\tilde{\varphi} = \tilde{\varphi}_1) \ \operatorname{Re} \mu^{(i)} < 0, \ /i = \overline{1,9}/.\end{aligned}\quad (16)$$

У випадках побічних рухів $\tilde{\varphi}_3$ ($e_0 < 1$), чи $\tilde{\varphi}_2$ ($e_0 > 1$) отримаємо такі корені характеристичного рівняння

$$\begin{aligned}\mu^{(1/2)} &\approx -\frac{H}{2}v \pm i \left[v \sqrt{1 - \left(\frac{H}{2}\right)^2} + 1 \right], & \mu^{(3/4)} &\approx -\frac{H}{2}v \pm i \left[v \sqrt{1 - \left(\frac{H}{2}\right)^2} - 1 \right], \\ \mu^{(5/6)} &\approx -\frac{1}{2}hv \frac{2R_g - R_m(e_0 + 1)}{R_g - R_m(e_0 + 1)} \pm i \sqrt{\frac{R_g - R_m(e_0 + 1)}{R_g}}, \\ \mu^{(7/8)} &\approx -\frac{1}{2}v \frac{h + HR_m}{1 - R_m} \pm i \sqrt{\frac{R_m(e_0 + 1 - R_g)}{R_g(1 - R_m)}}, & \mu^{(9)} &\approx \frac{(e_0 + 1)hR_mv}{R_g - R_m(e_0 + 1)}.\end{aligned}\quad (17)$$

З коренів можна зробити висновок, що рухи нестійкі:

$$\forall e_0 > 0 \ (e_0 < 1, \tilde{\varphi} = \tilde{\varphi}_3; \ e_0 > 1, \tilde{\varphi} = \tilde{\varphi}_2) \ \exists i \in \{8, 9\} : \operatorname{Re} \mu^{(i)} > 0. \quad (18)$$

Остаточно, у випадку ротора, що швидко обертається ($R_\omega \gg 1$), можна зробити наступні висновки:

1) у випадку дисбалансу, який може зрівноважити КВ ($e_0 < 1$), основні рухи $\tilde{\varphi}_{1,2}$ асимптотично стійкі, а побічні $\tilde{\varphi}_{3,4}$ - нестійкі;

- 2) у випадку дисбалансу, який не може зрівноважити КВ ($e_0 > 1$), основний рух $\tilde{\varphi}_1$ асимптотично стійкий, а побічний $\tilde{\varphi}_2$ - нестійкий;
- 3) на великих швидкостях обертання ротора АБД роботоспроможен.

ЛІТЕРАТУРА

1. Філімоніхін Г.Б., Сотніков В.С. Автобалансири-демпфери із сферичним рухом корегуючих мас // Збірник наукових праць КДТУ. -2000. Вип. 6, С. 73-75.
2. Сотніков В.С., Філімоніхін Г.Б. Автобалансируючий пристрій / Патент України № 40768 А по кл. G 01 М 1/38, -2001, Бюл.№7
3. Філімоніхін Г.Б., Сотніков В.С. Модель ротора, що здійснює плоскопаралельний рух і зрівноважується корегуючим вантажем з нерухомою точкою на осі ротора // Наукові вісти НТУУ "КПІ", -2001. №4 (18), С. 122-126.
4. Филимонихин Г.Б., Сотников В.С. Установившиеся движения ротора, совершающего плоскопараллельные движения, и автобалансира-демпфера // Збірник наукових праць КДТУ. -2000. Вип. 7, С. 192-199.